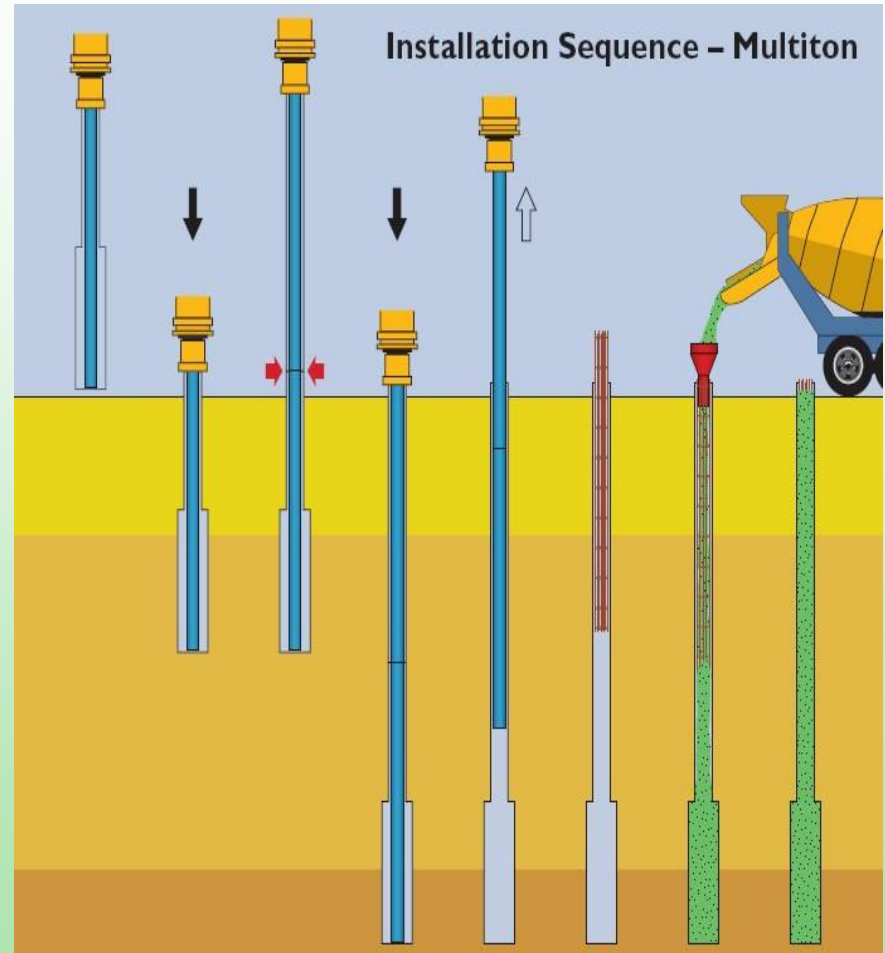


GEOTEHNIČKO INŽENJERSTVO

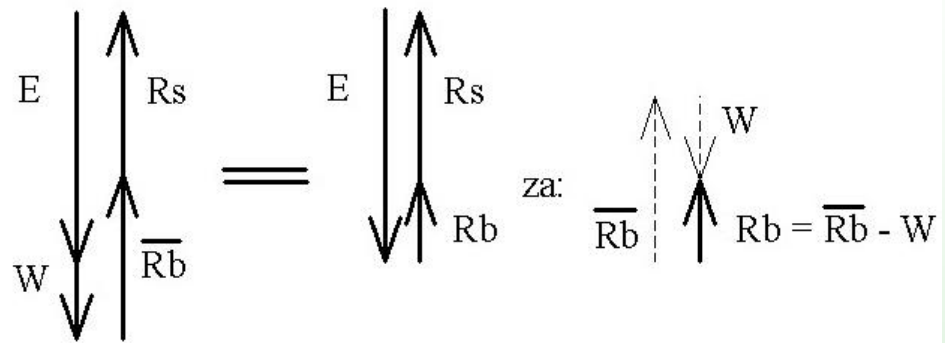
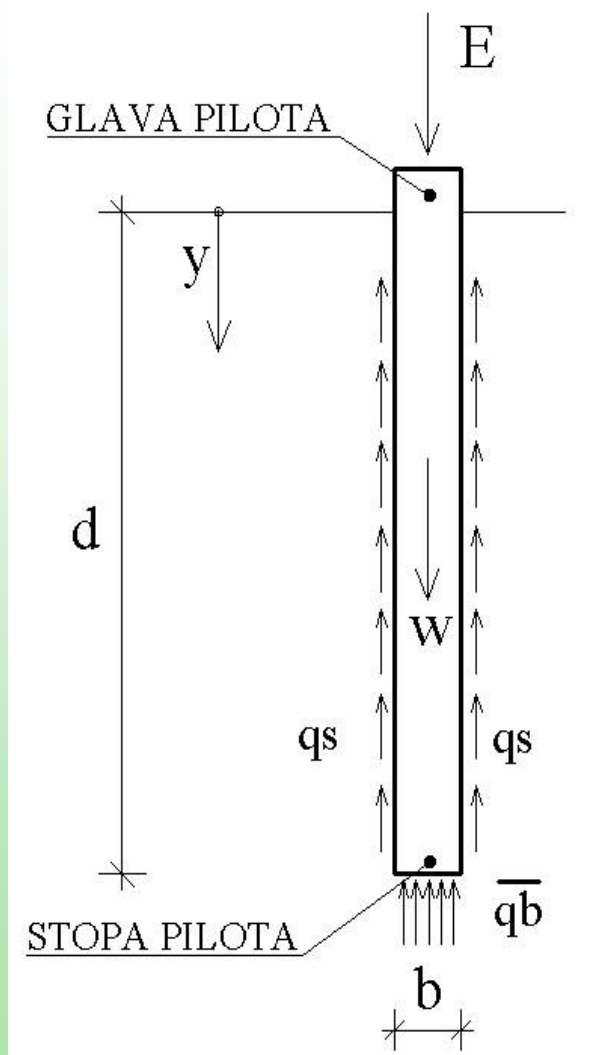
(XI . vježbe)

5. program – DUBOKO TEMELJENJE NA PILOTIMA

DUBOKO TEMELJENJE – piloti



PILOT – kontrola nosivosti



E - opterećenje pilota (djelovanje)

W - težina pilota

\bar{R}_b - otpor stope pilota

R_s - otpor plašta

$$R_s = \int_0^d q_s \cdot c \cdot dy$$

R_b - otpor stope pilota i zražen na glavi pilota

$$R_b = A_b \cdot q_b$$

NOSIVOST PILOTA

SPECIFIČAN OTPOR PILOTA

q_s [kN/m²] – otpor na plaštu

c – opseg pilota [m]; d – duljina pilota [m]

q_b [kN/m²] – otpor na bazi

A_b – površina baze pilota [m²]

Za **koherentna tla (C, M)** određuje se prema nedreniranoj čvrstoći - c_u .

Za **nekoherentna tla (S, G)** određuje se prema broju udaraca SPT-pokusa - N_{60} .

KARAKTERISTIČNA NOSIVOST PILOTA

Ovisi o količini istražnih radova ili količini probnog ispitivanja pilota 'n' na temelju kojeg se određuje **faktor korelacije** - ξ_i (srednja čvrstoću); ξ_j (minimalna čvrstoća).

$$R_{c;k} = \min \left[\frac{(R_{c;m})_{srednje}}{\xi_i}; \frac{(R_{c;m})_{min}}{\xi_j} \right]$$

PRORAČUNSKA NOSIVOST PILOTA

γ_b – parc. koef. za otpor baze

γ_s – parc. koef. za otpor plašta

γ_t – parc. koef. baza + plašt

$$R_{c;d} = \frac{R_{b;k}}{\gamma_b} + \frac{R_{s;k}}{\gamma_s}$$

$$R_{c;d} = \frac{R_{b;k} + R_{s;k}}{\gamma_t} = \frac{R_{c;k}}{\gamma_t}$$

NOSIVOST PILOTA – specifičan otpor baze

KOHERENTNA TLA (glina C, prah M) $c = c_u ; \varphi = 0$	NEKOHERENTNA TLA (šljunak G, pijesak S) $c = 0 ; \varphi \neq 0$										
Specifičan otpor na stopi pilota izražen na glavi pilota (za bušene pilote)											
$q_b = N_c \cdot c_u$ <table border="1" data-bbox="405 685 695 913"> <thead> <tr> <th>c_u [kN/m²]</th> <th>N_c</th> </tr> </thead> <tbody> <tr> <td>25</td> <td>6,5</td> </tr> <tr> <td>50</td> <td>8,0</td> </tr> <tr> <td>100</td> <td>8,7</td> </tr> <tr> <td>200</td> <td>9,0</td> </tr> </tbody> </table> <p>c_u – nedrenirana čvrstoća</p>	c_u [kN/m ²]	N_c	25	6,5	50	8,0	100	8,7	200	9,0	$q_b [kN/m^2] = 60 \cdot N_{60} \cdot \frac{d}{10b} \quad \text{za } \frac{d}{b} \leq 10$ $q_b [kN/m^2] = 60 \cdot N_{60} \quad \text{za } \frac{d}{b} > 10$ <p>N_{60} – broj udaraca SPT reduciran na 60% teoretske energije zabijanja</p>
c_u [kN/m ²]	N_c										
25	6,5										
50	8,0										
100	8,7										
200	9,0										

NOSIVOST PILOTA – specifičan otpor plašta

KOHERENTNA TLA (glina C, prah M) $c = c_u ; \varphi = 0$	NEKOHERENTNA TLA (šljunak G, pijesak S) $c = 0 ; \varphi \neq 0$
Specifičan otpor po plaštu (za bušene pilote)	
'ALFA' postupak	'BETA' postupak
$q_s = \alpha \cdot c_u$ <p> $\alpha = 0,55$ za $\frac{c_u}{p_{atm}} \leq 1,5$ </p> <p> $\alpha = 0,55 - 0,1 \left(\frac{c_u}{p_{atm}} - 1,5 \right)$ za $1,5 \leq \frac{c_u}{p_{atm}} \leq 2,5$ </p> <p> p_{atm} – atmosferski pritisak (100 kN/m²) </p>	$q_s = \beta \cdot \sigma'_{ysr}$ <p> σ'_{ysr} - vertikalno efektivno naprezanje u sredini lamele za koju računamo trenje </p> <p> - za pijeske: $\beta = \max \left\{ 0,25; \bar{N} (1,5 - 0,25 \sqrt{y_{sr}}) \right\}$ $\bar{N} = N_{60} / 11$ za $N_{60} < 15$ $\bar{N} = 1$ za $N_{60} > 15$ </p> <p> - za šljunke: $\beta = \bar{\beta}$ za $0,25 \leq \bar{\beta} \leq 1,8$ $\beta = 0,25$ za $\bar{\beta} < 0,25$ $\beta = 0,25$ za $\bar{\beta} > 1,8$ $\bar{\beta} = 2,0 - 0,15 (y_{sr})^{0,75}$ </p> <p> - za vlačno opterećene pilote: $q_{sVLAK} \approx 0,75 q_{sTLAK}$ </p>

NOSIVOST PILOTA – korelacijski koeficijent - ξ

$$R_{c;k} = \min \left[\frac{(R_{c;m})_{\text{srednje}}}{\xi_i}; \frac{(R_{c;m})_{\text{min}}}{\xi_j} \right]$$

iz statičkog probnog opterećenja ($n =$ broj probno opterećenih pilota)							
$n =$	1	2	3	4	≥ 5		
ξ_1	1.40	1.30	1.20	1.10	1.00		
ξ_2	1.40	1.20	1.05	1.00	1.00		
iz parametara tla ($n =$ broj bušotina, sondažnih profila)							
$n =$	1	2	3	4	5	7	10
ξ_3	1.40	1.35	1.33	1.31	1.29	1.27	1.25
ξ_4	1.40	1.27	1.23	1.20	1.15	1.12	1.08
iz dinamičkih pokus ($n =$ broj ispitanih pilota)							
$n =$	≥ 2	≥ 5	≥ 10	≥ 15	≥ 20		
ξ_5	1.60	1.50	1.45	1.42	1.40		
ξ_6	1.50	1.35	1.30	1.25	1.25		

NOSIVOST PILOTA – korelacijski koeficijent - ξ

$$R_{c;k} = \min \left[\frac{(R_{c;m})_{\text{srednje}}}{\xi_i}; \frac{(R_{c;m})_{\text{min}}}{\xi_j} \right]$$

iz statičkog probnog opterećenja ($n =$ broj probno opterećenih pilota)							
$n =$	1	2	3	4	≥ 5		
ξ_1	1.40	1.30	1.20	1.10	1.00		
ξ_2	1.40	1.20	1.05	1.00	1.00		
iz parametara tla ($n =$ broj bušotina, sondažnih profila)							
ξ za $n =$	1	2	3	4	5	7	10
ξ_3	1,60	1,60	1,60	1,60	1,60	1,60	1,60
ξ_4	1,50	1,50	1,50	1,50	1,50	1,50	1,50
iz dinamičkih pokus ($n =$ broj ispitanih pilota) HRN EN 1997							
$n =$	≥ 2	≥ 5	≥ 10	≥ 15	≥ 20		
ξ_5	1.60	1.50	1.45	1.42	1.40		
ξ_6	1.50	1.35	1.30	1.25	1.25		

NOSIVOST PILOTA – p. koef. za nosivost - γ_R

PRORAČUNSKA NOSIVOST PILOTA

γ_b – parc. koef. za otpor baze

γ_s – parc. koef. za otpor plašta

γ_t – parc. koef. baza + plašt

$$R_{c;d} = \frac{R_{b;k}}{\gamma_b} + \frac{R_{s;k}}{\gamma_s}$$

$$R_{c;d} = \frac{R_{b;k} + R_{s;k}}{\gamma_t} = \frac{R_{c;k}}{\gamma_t}$$

(3) Parcijalni koeficijenti otpornosti (γ_R)						
Otpornost		simbol	R1	R2	R3	R4
zabijeni piloti	stopa	γ_b	1	1.1	1	1.3
	plašt (tlak)	γ_s	1	1.1	1	1.3
	stopa+plašt (tlak)	γ_t	1	1.1	1	1.3
bušeni piloti	plašt (vlak)	$\gamma_{s;t}$	1.25	1.15	1.1	1.6
	stopa	γ_b	1.25	1.1	1	1.6
	plašt (tlak)	γ_s	1	1.1	1	1.3
	stopa+plašt (tlak)	γ_t	1.15	1.1	1	1.5
	plašt (vlak)	$\gamma_{s;t}$	1.25	1.15	1.1	1.6

NOSIVOST PILOTA – p. koef. za nosivost - γ_R

PRORAČUNSKA NOSIVOST PILOTA

γ_b – parc. koef. za otpor baze

γ_s – parc. koef. za otpor plašta

γ_t – parc. koef. baza + plašt

$$R_{c;d} = \frac{R_{b;k}}{\gamma_b} + \frac{R_{s;k}}{\gamma_s} \quad R_{c;d} = \frac{R_{b;k} + R_{s;k}}{\gamma_t} = \frac{R_{c;k}}{\gamma_t}$$

(3) Parcijalni koeficijenti otpornosti (γ_R)						
Otpornost		simbol	R1	R2	R3	R4
zabijeni piloti	stopa	γ_b	1	1.2	1	1.3
	plašt (tlak)	γ_s	1		1	1.3
	stopa+plašt (tlak)	γ_t	1		1	1.3
bušeni piloti	plašt (vlak)	$\gamma_{s;t}$	1.25		1.1	1.6
	stopa	γ_b	1.25		1	1.6
	plašt (tlak)	γ_s	1		1	1.3
	stopa+plašt (tlak)	γ_t	1.15		1	1.5
	plašt (vlak)	$\gamma_{s;t}$	1.25		1.1	1.6

HRN EN 1997

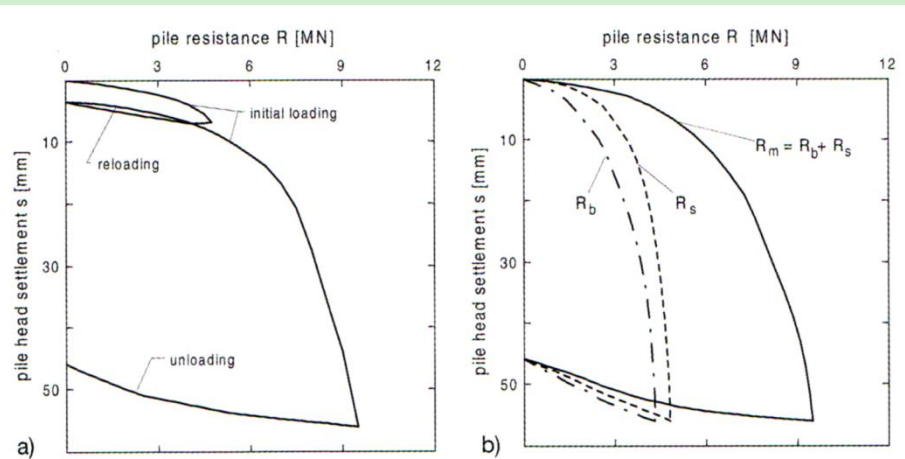
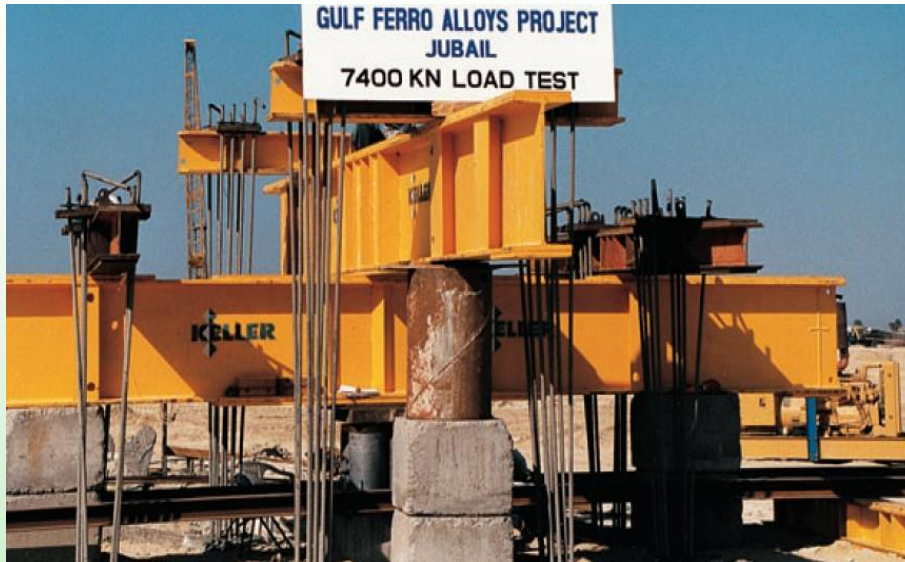
NOSIVOST PILOTA – p. koef. za nosivost - γ_R

Partial factors for GEO/STR in persistent and transient design situations
Piles (see Chapter 13)

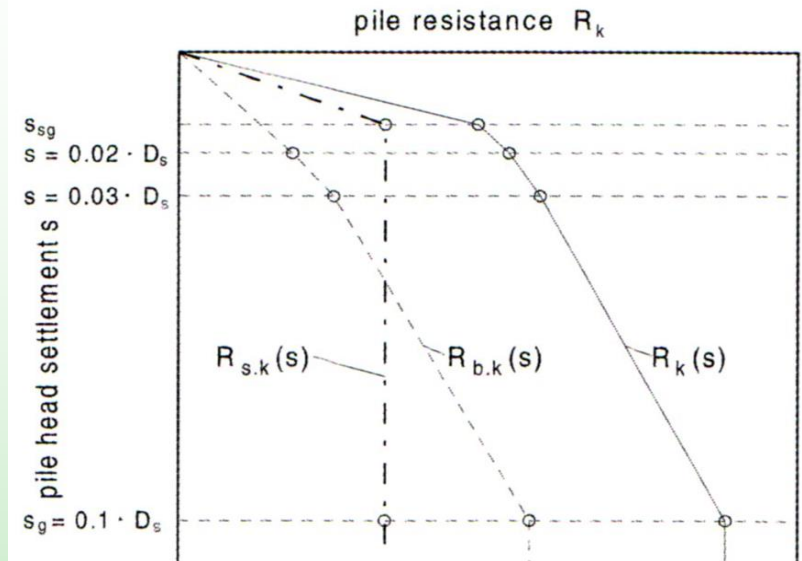
<i>Design Approach 1</i>		Combination 1		Combination 2					
		↓		↓		↓			
<i>Design Approach 2</i>			↓		↓			↓	
<i>Design Approach 3</i>			↓	↓		↓			↓
Partial factor set		A1	A2	M1	M2	R1	R2	R3	R4
Actions	γ_F	See inside front cover							
Material properties	γ_M								
Base resistance (R_b)	γ_b						1.1	1.0	
... driven pile						1.0			1.3
... bored pile						1.25			1.6
... CFA pile						1.1			1.45
Shaft resistance (R_s)	γ_s					1.0	1.1	1.0	1.3
Total resistance (R_t)	γ_t						1.1	1.0	
... driven pile						1.0			1.3
... bored pile						1.15			1.5
... CFA pile						1.1			1.4
Tensile resistance (R_{st})	γ_{st}					1.25	1.15	1.0	1.6

SLIJEGANJE PILOTA

Statičko ispitivanje nosivosti pilota



Normalizirana krivulja slijeganja



s / D _s	R _b / R _{b,max}		
	R _b	S, G	C, M
2 %	R _{b,002}	0,37	0,77
3 %	R _{b,003}	0,51	0,88
10 %	R _{b,010}	1,00	1,00

s – slijeganje glave pilota

D_s – promjer pilota

R_b – otpor na bazi pilota za pomak s

R_{b,max} – nosivost baze pilota

$$s_{sg} (cm) = 0,5 \cdot R_s(MN) + 0,5 < 3,0cm$$

NOSIVOST I SLIJEGANJE GRUPE PILOTA

NOSIVOST GRUPE PILOTA:

$$R_{grupa} = R_{pilot} \times m \times n \times \eta$$

m, n – broj redova, stupaca grupe pilota

η – faktor redukcije nosivosti

a) Converse – Labarre

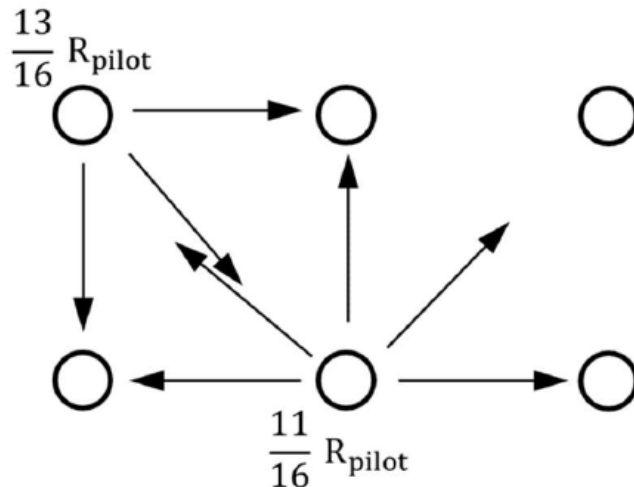
$$\eta = 1 - \psi \cdot \left[\frac{(n-1) \cdot m + (m-1) \cdot n}{90 \cdot m \cdot n} \right]$$

$$\operatorname{tg} \psi = \frac{b}{a}$$

b – promjer pilota

a – razmak između redova i stupaca

b) Feld



$$\eta = \frac{\text{suma koeficijenata redukcije nosivosti}}{m \cdot n}$$

$\frac{k}{16}$ – koeficijent redukcije nosivosti

– nosivost svakog pilota u grupi smanjuje se za $1/16$ po svakom susjednom pilotu

NOSIVOST I SLIJEGANJE GRUPE PILOTA

SLIJEGANJE GRUPE PILOTA:

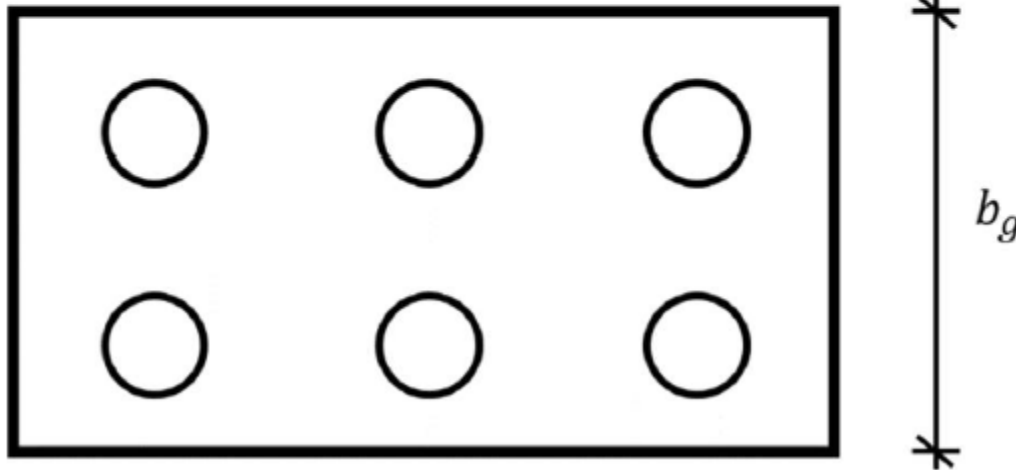
$$S_{grupa} = S_{pilot} \times \eta$$

$$\eta = \frac{4 \cdot \frac{b_g}{b} + 9}{\frac{b_g}{b} + 12}$$

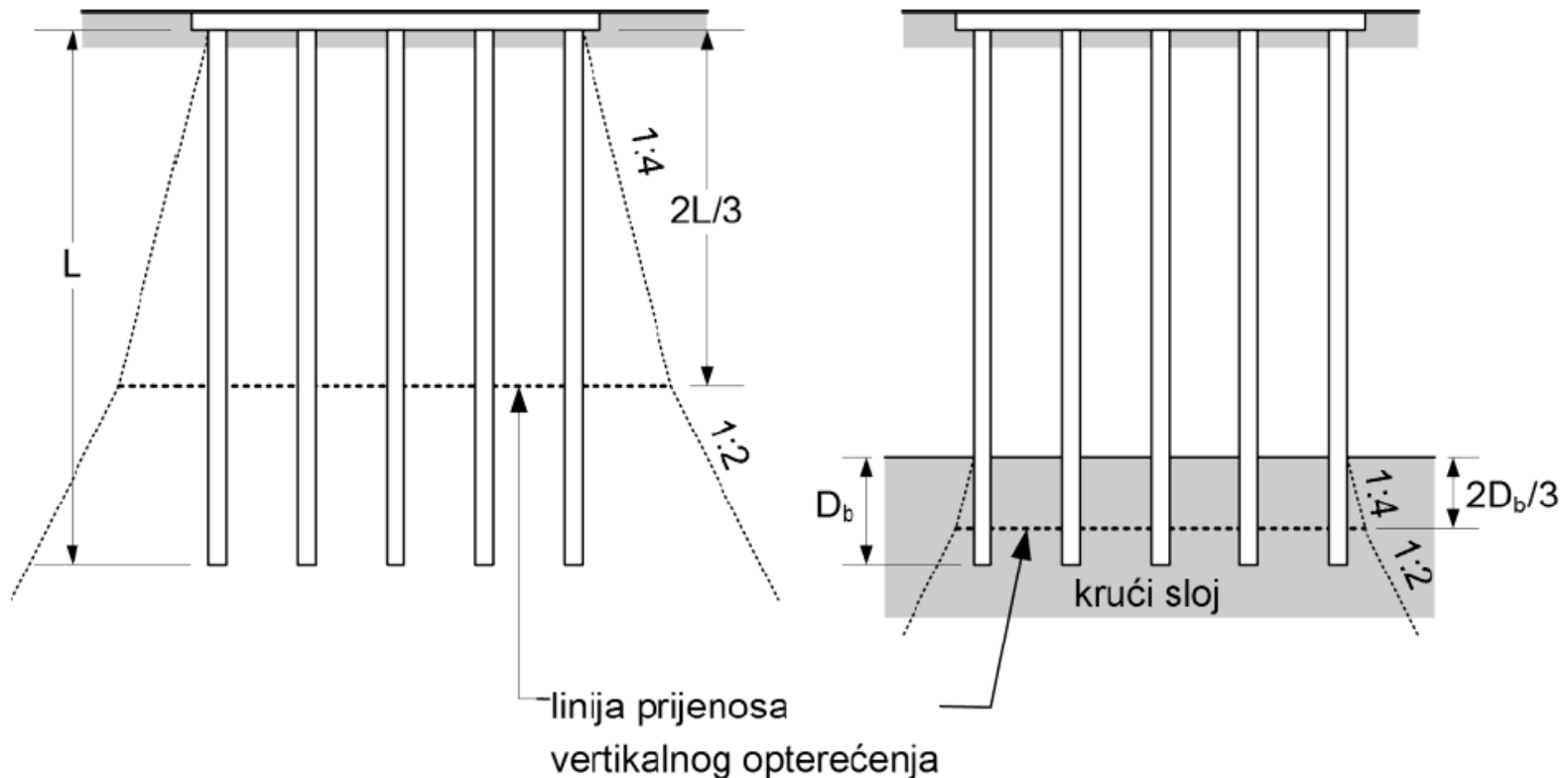
b_g – širina grupe

b – promjer pilota

η – faktor slijeganja



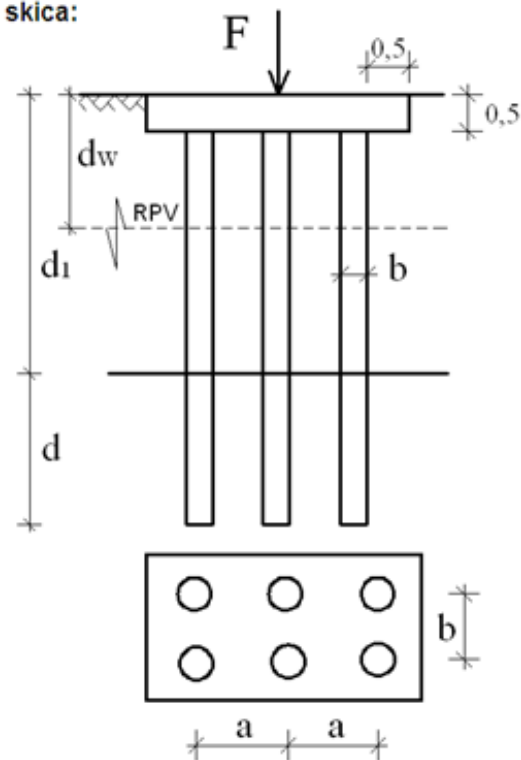
NOSIVOST GRUPE PILOTA – sudjelujuća širina



Slika 6-4 Uz približni proračun raspodjele vertikalnih naprezanja ispod grupe pilota: (a) u tlu približno homogene krutosti ("plutajući" piloti), i (b) za slučaj kad piloti prenose vertikalno opterećenje u krući sloj (piloti koji nose preko kraja)

5. PROGRAM – geometrija, profil tla, zadatak

skica:



tlo:

1_sloj: CH
2_sloj: SW

$l_p = 17$

Rezultati SPT ispitivanja u temeljnom tlu

dubina [m]	B1 N_{60}	B2 N_{60}	B3 N_{60}	B4 N_{60}	B5 N_{60}
1			11		
2	11	12			
3		12	14		
4	10	12			
5	10	13			
6			23		
7		26	23		
8	25				
9		24	23		
10					
11		24			
12	25	25			
13	25		23		
14					
15		21	27		
16		26	26		
17			23		
18	23	27			
19	21		26		
20	26	22			

geometrija:

$d_1 = 5.5$ m

$d_w = 4.0$ m

opterećenje:

$F = 10000$ kN

5. PROGRAM – geometrija, profil tla, zadatak

ZADATAK:

- * kontrolu nosivosti pilota treba provesti primjenom 'API metode', prema proračunskom pristupu: PP2
- ** koristiti jedinstveni parcijalni koeficijent za nosivost pilota: plašt + baza
- a) odredi dimenzije pilota ($d=?$, $b=?$) i potreban broj pilota u grupi ($n = ?$) za proračunsku 'čvrstoću' tla
- b) odredi potreban broj pilota uzimajući u obzir međusobno djelovanje pilota u grupi ($n = ?$)
- c) nacrtaj dijagram slijeganja pilota za odabrane dimenzije
- d) odredi slijeganje pojedinačnog pilota (za opterećenje jednog pilota) i grupe pilota (za opterećenje grupe)